

پژوهشگاه بین المللی زلزله شناسی و مهندسی زلزله

رساله دکتری

مهندسی عمران-مهندسی زلزله

**تحلیل بلند شدگی مخازن استوانه ای مهار نشده فولادی تحت اثر  
مولفه های افقی و قائم زلزله**

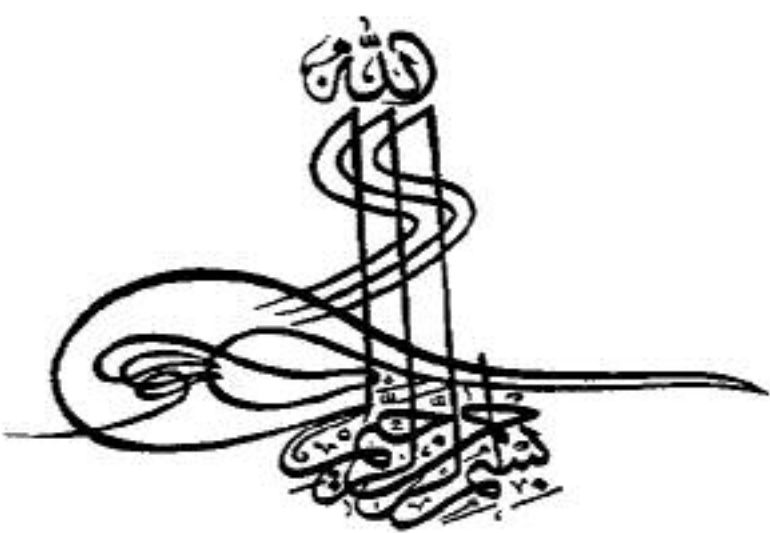
دانشجو: مسعود نورعلی آهاری

استاد راهنمای:

آقای دکتر ساسان عشقی

آقای دکتر محسن غفوری آشتیانی

۱۳۸۷



---

---

استاد راهنما: جناب آقای دکتر ساسان عشقی

استاد راهنما: جناب آقای دکتر محسن غفوری آشتیانی

استاد ممتحن: جناب آقای دکتر محمود رضا ماهری

استاد ممتحن: جناب آقای دکتر محمد تقی احمدی

استاد ممتحن: جناب آقای دکتر عبدالرضا سروقد مقدم

استاد ممتحن: جناب آقای دکتر منصور ضیایی فر

نماینده تحصیلات تکمیلی: جناب آقای دکتر محمود حسینی

---

---

---

---

تقدیم به

## همسر عزیزم

که یار و همراه من در انجام این پایان نامه بود

---

## خلاصه پایان نامه

موضوع این پایان نامه تحلیل بلند شدگی مخازن مهار نشده فولادی می باشد. بدین منظور مدل مکانیکی ساده‌ای متشکل از سیستم جرم-فner-میراگر و فنر پیچشی معرف بلندشدنگی ورق کف مخزن استفاده شده است. فنر پیچشی مذکور دارای رفتار غیر خطی مصالح و رفتار غیر خطی هندسی ناشی از وجود نیروی محوری و تغییر مداوم سطح تماس آن با تکیه‌گاه است. به منظور تعیین منحنی رفتاری، ورق کف با استفاده از تعدادی تیر مثلثی شکل مدل شده است. تیرهای مورد نظر در امتداد شعاعهای مختلف ورق کف بوده و از اندرکنش تیرهای مجاور صرفنظر شده است. تاثیر دیوار مخزن بر بلند شدنگی ورق کف با استفاده از قیود انتهایی محوری و پیچشی متصل به تیرها در نظر گرفته شده است. رفتار غیر خطی مصالح در تیرها تنها به ایجاد مفصل پلاستیک در محل اتصالشان با دیوار مخزن محدود شده است. در ادامه با استفاده از منحنی نیرو-بلندشدنگی تیرها و با فرض دوران صلب دیوار مخزن، منحنی لنگر مقاوم در برابر واژگونی-دوران ورق کف مخزن حاصل گردیده است. بدین منظور برای مقادیر مختلف بلندشدنگی تعادل دورانی کل مخزن نوشته شده و لنگر مقاوم در برابر واژگونی بدست آمده است. سپس معادلات حرکت دینامیکی مخزن شامل سه درجه آزادی مودهای ضربه‌ای و موج مایع و مود گهواره‌ای مخزن-مایع نوشته شده است. به منظور حل معادلات حرکت از روش‌های نیومارک- $\beta$  و رانگ-کوتا مرتبه ۴ استفاده گردید. پس از حل معادلات حرکت، تاثیر پارامترهایی نظیر نسبت ابعادی مخزن، مود موج نوسانات مایع، ضریب ضربه، شتابنگاشتهای مختلف، وجود مولفه قائم و انعطاف‌پذیری خاک زیر شالوده بر بلند شدنگی مخزن مهار نشده مورد بررسی واقع شد.

به منظور حصول اطمینان از صحت روابط تحلیلی حاکم بر بلند شدنگی، مدل آزمایشگاهی مخزنی عریض ساخته شده و در آزمایشگاه سازه پژوهشگاه بین المللی زلزله شناسی و مهندسی زلزله مورد آزمایش قرار گرفت. بدین منظور در ابتدا مدل مذکور بر روی سطحی شبیدار قرار داده شد تا در اثر لنگر واژگونی ناشی از اختلاف فشار هیدرولاستاتیکی دیوار مخزن دچار بلند شدنگی گردد. در این آزمایش میزان بلند شدنگی نقاط مختلف ورق کف مخزن اندازه گیری شد. سپس مخزن مورد نظر تحت آزمایش ارتعاش آزاد بلندشدنگی قرار گرفت تا برآورده از ضریب ضربه کف مخزن و تکیه‌گاه آن حاصل شود.

همچنین مدل مخازن مهار شده و مهار نشده در محیط نرم افزار ANSYS ساخته شده و مورد تحلیلهای استاتیکی و دینامیکی قرار گرفت. به منظور انجام آزمایش‌های استاتیکی، مایع داخل مخزن با فشار هیدرولاستاتیکی معادل آن جایگزین شد. در آزمایش‌های دینامیکی از المانهای مایع در مدلسازی استفاده گردید.

## فهرست مندرجات

۱	مقدمه	-۱
۲	مقدمه	-۱-۱
۳	معرفی مخازن فولادی مورد استفاده در صنایع نفت و پتروشیمی	-۲-۱
۴	رفتار مخازن فولادی در زلزله‌های گذشته	-۳-۱
۵	دلایل اهمیت تحقیق حاضر	-۴-۱
۶	بیان مساله و هدف از تحقیق	-۵-۱
۷	روش و مراحل انجام تحقیق	-۶-۱
۸	فرضیات تحقیق	-۷-۱
۹	مروری بر ادبیات فنی موجود	-۲
۱۰	مقدمه	-۱-۲
۱۱	مروری بر مطالعات انجام شده در زمینه تحلیل لرزه‌ای مخازن مهار شده	-۲-۲
۱۲	مروری بر مطالعات انجام شده در زمینه تحلیل لرزه‌ای مخازن مهار نشده	-۳-۲
۱۳	نتیجه گیری	-۴-۲
۱۴	تحلیل بلندشدنگی مخازن در آیین نامه‌های طراحی	-۳
۱۵	مقدمه	-۱-۳
۱۶	مبانی تحلیل بلندشدنگی در پیوست API 650 آیین نامه E و توصیه‌های طراحی نیوزلند	-۲-۳
۱۷	روش مورد استفاده در پیوست API 650 آیین نامه E	-۱-۲-۳
۱۸	روش مورد استفاده در توصیه‌های طراحی نیوزلند	-۲-۲-۳
۱۹	تحلیل بلند شدنگی دینامیکی	-۳-۲-۳

۳۱	مروری بر پیوست آین نامه <i>E</i> آیین نامه <i>API 650</i> و توصیه‌های طراحی نیوزلند	-۳-۳
۳۱	پیوست آین نامه <i>E API 650</i>	-۱-۳-۳
۳۵	توصیه‌های طراحی نیوزلند	-۲-۳-۳
۳۸	نتیجه گیری	-۴-۳
۴۱	مدلسازی و تحلیل بلندشدگی استاتیکی مخازن فولادی مهار نشده	4-
۴۱	مقدمه	4-۱-
۴۲	نحوه مدلسازی بلند شدگی استاتیکی ورق کف مخازن فولادی مهار نشده	-۲-۴
۴۲	تحلیل بلندشدگی تیر مثلثی	-۱-۲-۴
۴۸	مدلسازی ورق کف با استفاده از تیر یکنواخت	-۲-۲-۴
۵۶	تأثیر فشار هیدرو استاتیکی دیوار بر میزان بلند شدگی اولیه	-۳-۲-۴
۶۱	روشی دیگر برای محاسبه بلند شدگی در محدوده تغییر شکلهای کوچک	-۴-۲-۴
۶۹	محاسبه نیروی قائم متقارن-تغییر مکان بلند شدگی	-۵-۲-۴
۶۹	محاسبه لنگر مقاوم در برابر واژگونی	-۶-۲-۴
۷۰	مخازن مورد استفاده در تحلیل بلندشدگی	-۳-۴
۷۲	تحلیل بلند شدگی تیر مثلثی	-۴-۴
۷۲	مقایسه نیروی قائم بلندشدگی و نیروی محوری تیر یکنواخت و تیر مثلثی	-۱-۴-۴
۷۳	تأثیر کرنش محوری مرتبه دوم ناشی از تغییر شکل قائم تیر	-۲-۴-۴
۷۴	رفتار تیر در یک سیکل بلندشدگی	-۳-۴-۴
۷۶	سهم عکس العمل قائم هر انتهای تیر در حمل بار	-۴-۴-۴
۷۷	تأثیر ضخامت دیوار و کف مخزن در بلند شدگی	-۵-۴-۴

۷۷	تاثیر فشار هیدرو استاتیکی وارد بر دیوار بر بلند شدگی تیر	-۶-۴-۴
۷۸	روشی ساده برای تهیه منحنی نیروی قائم-بلند شدگی تیر	-۵-۴
۷۹	حل خمی تیر	-۱-۵-۴
۸۰	حل محوری تیر	-۲-۵-۴
۸۱	مقایسه نتایج حاصل از تحلیلی دقیق و تحلیل های ساده شده	-۳-۵-۴
۸۲	مراحل گام به گام بدست آوردن منحنی نیروی قائم-بلند شدگی تیر	-۴-۵-۴
۸۳	مقایسه نتایج تحلیلهای دقیق و ساده شده	-۵-۵-۴
۸۶	بلند شدگی مقارن مخازن مهار نشده-روش اجزاء محدود	-۶-۴
۸۷	تاثیر نحوه مش بندی دیوار و کف مخزن بر روی بلند شدگی	-۱-۶-۴
۸۹	مقایسه نتایج تحلیلی و اجزاء محدود	-۲-۶-۴
۹۰	تاثیر تغییر شکلهای بزرگ ورق کف بر رفتار بلند شدگی	-۳-۶-۴
۹۱	تاثیر فشار هیدرو استاتیکی دیوار بر بلند شدگی	4-6-4-
۹۱	تاثیر پارامترهای ضخامت دیوار و کف مخزن بر بلند شدگی	-۵-۶-۴
۹۳	بلند شدگی نامتقارن مخازن مهار نشده	-۷-۴
۹۳	مقایسه نتایج تحلیلی و اجزاء محدود	-۱-۷-۴
۹۴	تاثیر فشار هیدرو استاتیکی دیوار مخزن	-۲-۷-۴
۹۵	تاثیر پارامترهای ضخامت دیوار و کف مخزن بر بلند شدگی	-۳-۷-۴
۹۶	تاثیر الگوی بارگذاری بر بلند شدگی	4-7-4-
۹۹	تاثیر وجود سخت کننده در بالای دیوار بر بلند شدگی	-۵-۷-۴
۱۰۲	رفتار بلند شدگی مخزن تحت اثر یک سیکل لنگر واژگونی	-۶-۷-۴

۱۰۴ .....	نتیجه‌گیری	-۸-۴
۱۰۷ .....	مطالعه آزمایشگاهی بلندشدگی مدل مخزنی عریض	-۵
۱۰۷ .....	مقدمه	-۱-۵
۱۰۷ .....	مشخصات هندسی مدل آزمایشگاهی	-۲-۵
۱۱۰ .....	مشخصات هندسی تکیه گاه	-۱-۲-۵
۱۱۲ .....	روش ساخت مخزن	-۳-۵
۱۱۳ .....	محل نصب تغییر مکان سنجها	-۴-۵
۱۱۴ .....	آزمایش استاتیکی بلند شدگی	-۵-۵
۱۱۵ .....	مقایسه نتایج تحلیلی و آزمایشگاهی	۵-۵-۱-
۱۲۱ .....	آزمایش آرتعاش آزاد-بررسی ضریب ضربه	-۶-۵
۱۲۴ .....	نتیجه گیری	-۱-۶-۵
۱۲۷ .....	تحلیل لرزه ای مخازن فولادی مهار شده	-۶
۱۲۷ .....	مقدمه	-۱-۶
۱۲۷ .....	زلزله‌های مورد استفاده در تحلیل‌های تاریخچه-زمانی	-۲-۶
۱۳۰ .....	مقایسه مشخصات مودهای نوسان مخزن-مایع	-۳-۶
۱۳۱ .....	تاثیر طول گام زمانی در تحلیل اجزاء محدود مخازن مهار شده	-۴-۶
۱۳۱ .....	مقایسه تحلیل لرزه ای حاصل از روش اجزاء محدود و روش‌های تحلیلی موجود	-۵-۶
۱۳۲ .....	نتیجه گیری	-۶-۶
۱۳۵ .....	تحلیل لرزه‌ای مخازن فولادی مهار نشده	-۷
۱۳۵ .....	مقدمه	-۱-۷

۱۳۵	معادلات حاکم بر رفتار دینامیکی مخازن مهار نشده.....	-۲-۷
۱۳۸	حل معادلات دینامیکی پاسخ با استفاده از روش نیومارک.....	-۱-۲-۷
۱۳۸	حل معادلات دینامیکی پاسخ با استفاده از روش رانگ-کوتا.....	-۲-۲-۷
۱۴۰	روابط حاکم بر بلند شدگی تحت تاثیر همزمان مولفه های افقی و قائم زلزله.....	-۳-۷
۱۴۱	نتایج تحلیل لرزه ای مخازن مهار نشده.....	-۴-۷
۱۴۲	مطالعه پایداری پاسخهای حاصل از روشهای تحلیلی مختلف.....	-۱-۴-۷
۱۴۴	مقایسه نتایج حاصل از روش تحلیلی و روش اجزاء محدود.....	-۲-۴-۷
۱۴۵	تاثیر ضریب بازگشت بر پاسخ بلند شدگی.....	7-۴-۳-
۱۴۷	تاریخچه زمانی تغییرات دوره تناوب مودهای سازه.....	-۴-۴-۷
۱۴۹	تاثیر تاریخچه زمانی شتاب زلزله بر حداکثر مقادیر پاسخ مخزن.....	-۵-۴-۷
۱۵۰	تاثیر مود مواج نوسانات مایع بر پاسخ بلند شدگی.....	-۶-۴-۷
۱۵۲	تاثیر مؤلفه قائم زلزله بر پاسخ بلند شدگی.....	-۵-۷
۱۵۳	تحلیل بلند شدگی مخزن مهار نشده دارای شالوده صلب و قرار گرفته بر روی بستر انعطاف پذیر..	-۶-۷
۱۵۴	محاسبه سختی و میرایی خاک.....	-۷-۷
۱۵۵	تاثیر نوع خاک بر پاسخ بلند شدگی مخزن مهار نشده.....	-۸-۷
۱۵۷	تاثیر نوع خاک در تغییرات دوره تناوب مودهای مختلف نوسان.....	-۹-۷
۱۶۰	نتیجه گیری.....	-۱۰-۷
۱۶۳	نتیجه گیری و پیشنهاد مطالعات آینده.....	-۸
۱۶۳	نتیجه گیری.....	-۱-۸
۱۶۴	پیشنهادات مطالعات آینده.....	-۲-۸

۱۶۶.....	پیوست الف: معرفی اصطلاحات مورد استفاده
۱۶۷.....	پیوست ب: المانها و فرضیات مورد استفاده در نرم افزار ANSYS
۱۷۳.....	پیوست ج: معرفی مشخصات ارتعاشی مخزن مهار نشده
۱۷۵.....	پیوست د: شتابنگاشتهای مورد استفاده
۱۷۸.....	مراجع

## فهرست اشکال

۳	شکل (۱-۱)- بلند شدگی مخزن تحت اثر زلزله
۸	شکل (۲-۱)- بلند شدگی متقارن و نامتقارن مخزن مهار نشده
۹	شکل (۳-۱)- فلوچارت مراحل انجام پایان نامه
۲۶	شکل (۱-۳)- مدل مورد استفاده توسط وازنياک و ميشل (۱۹۷۸) برای تحليل بلند شدگی
۲۹	شکل (۲-۳)- بلند شدگی استاتيکي (کلاف، ۱۹۷۸)
۲۹	شکل (۳-۳)- تحليل بلند شدگی تير نيمه بي نهايت (ملههترا و ولتسوز، ۱۹۹۴a)
۳۱	شکل (۴-۳)- مدل سистем مخزن-مایع مهار نشده (ملههtra و ولتسوز، ۱۹۹۴c)
۳۶	شکل (۵-۳)- سیستم معین استاتيکي مورد استفاده در API 650 برای تعیین حداکثر بلند شدگی
۴۳	شکل (۱-۴)- مدل تير مثلثی شکل
۴۳	شکل (۲-۴)- جزء تير انتخاب شده
۵۲	شکل (۳-۴)- لنگر و برش وارد بر انتهای پایین دیوار
۵۷	شکل (۴-۴)- بلند شدگی اوليه ورق کف مخزن تحت اثر فشار هيدرو استاتيکي وارد بر دیوار
۶۰	شکل (۵-۴)- دیاگرام آزاد ناحیه بلند شده
۶۲	شکل (۶-۴)- دیوار مخزن مشکل از قسمتهای دارای ضخامت متفاوت
۷۰	شکل (۷-۴)- دیاگرام آزاد مخزن بلند شده
۷۰	شکل (۸-۴)- پaramترهاي هندسي مورد استفاده در تعیین لنگر مقاوم
۷۱	شکل (۹-۴)- مخازن مورد مطالعه
۷۲	شکل (۱۰-۴)- مقایسه نیروهای قائم و محوری در تیرهای مثلثی و یکنواخت
۷۴	شکل (۱۱-۴)- تاثیر کوتاه شدگيهای مرتبه دوم در نیروهای قائم و محوری تیر
۷۶	شکل (۱۲-۴)- برگشت نیروهای قائم و محوری
۷۶	شکل (۱۳-۴)- سهم هر یک از نیروهای قائم در دو انتهای تیر در تحمل بار تیر

- ۷۷ شکل (۱۴-۴)- تاثیر پارامتر ضخامت دیوار و کف مخزن بر روی نیرو و تغییر مکان بلند شدگی
- ۷۸ شکل (۱۵-۴)- بلند شدگی ورق کف در اثر فشار هیدرولاستاتیکی وارد بر دیوار مخزن
- ۷۸ شکل (۱۶-۴)- تاثیر فشار هیدرولاستاتیکی دیوار بر روی پاسخ بلند شدگی
- ۸۱ شکل (۱۷-۴)- بلند شدگی تیر یکنواخت- مقایسه بین نتایج دقیق و ساده شده
- ۸۲ شکل (۱۸-۴)- میزان مشارکت کنش محوری در برابری تیر (پس از جاری شدن مصالح)
- ۸۳ شکل (۱۹-۴)- مقایسه نتایج تحلیل دقیق و ساده در مخزن بلند.  $t_s = 0.003R$ ,  $t_b = 0.0015R$  و  $t_s = 0.005R$ ,  $t_b = 0.0015R$
- ۸۴ شکل (۲۰-۴)- مقایسه نتایج تحلیل دقیق و ساده در مخزن بلند.  $t_b = 0.001R$ ,  $t_s = 0.0008R$  و  $t_b = 0.002R$
- ۸۴ شکل (۲۱-۴)- مقایسه نتایج تحلیل دقیق و ساده در مخزن عریض.  $t_b = 0.0015R$ ,  $t_s = 0.002R$
- ۸۵ شکل (۲۲-۴)- مقایسه نتایج تحلیل دقیق و ساده در مخزن عریض.  $t_s = 0.0015R$ ,  $t_b = 0.001R$  و  $t_s = 0.0025R$
- ۸۷ شکل (۲۴-۴)- بلند شدگی متقارن کف مخزن
- ۸۸ شکل (۲۵-۴)- تاثیر تعداد المانها و نحوه چیدمان آنها در مدلسازی
- ۸۹ شکل (۲۶-۴)- تاثیر تعداد المانهای کف مخزن و نحوه چیدمان آنها در پاسخ بلند شدگی متقارن
- ۹۰ شکل (۲۷-۴)- نحوه المان بندی دیوار مخزن
- ۹۰ شکل (۲۸-۴)- مقایسه نتایج حاصل از روش اجزاء محدود و روشهای تحلیلی- بلند شدگی متقارن
- ۹۰ شکل (۲۹-۴)- تاثیر لحظه تغییر شکلهای بزرگ ورق کف در پاسخ بلند شدگی
- ۹۱ شکل (۳۰-۴)- تاثیر فشار هیدرولاستاتیکی وارد بر دیوار بر روی پاسخ بلند شدگی متقارن
- ۹۲ شکل (۳۱-۴)- تاثیر ضخامت دیوار و کف مخزن در بلند شدگی متقارن- مخزن لاغر
- ۹۲ شکل (۳۲-۴)- تاثیر ضخامت دیوار و کف مخزن در بلند شدگی متقارن- مخزن عریض
- ۹۴ شکل (۳۳-۴)- مقایسه منحنی لنگر واژگونی- دوران حاصل از روشهای اجزاء محدود و تحلیلی
- ۹۴ شکل (۳۴-۴)- تاثیر فشار هیدرولاستاتیکی دیوار بر منحنی لنگر واژگونی دوران
- ۹۵ شکل (۳۵-۴)- تاثیر پارامترهای ضخامت دیوار مخزن بر بلند شدگی
- ۹۵ شکل (۳۶-۴)- تاثیر پارامترهای ضخامت کف مخزن بر بلند شدگی
- ۹۶ شکل (۳۷-۴)- تغییرات توزیع فشار در ارتفاع در الگوهای مختلف
- ۹۷ شکل (۳۸-۴)- تغییرات توزیع فشار در پلان مخزن در الگوهای مختلف
- ۹۸ شکل (۳۹-۴)- مقایسه بلند شدگی مخزن تحت اثر الگوهای مختلف بارگذاری

- شکل (۴۰-۴)- تاثیر وجود سخت کننده بالای دیوار بر بلند شدگی مخزن لاغر ۹۹
- شکل (۴۱-۴)- تغییر شکل مخزن در حالت عدم وجود سخت کننده بالای دیوار مخزن ۱۰۰
- شکل (۴۲-۴)- تغییر شکل مخزن در حالت وجود سخت کننده بالای دیوار مخزن ۱۰۰
- شکل (۴۳-۴)- تغییر شکل انتهای پایین دیوار مخزن در حالت وجود تغییر شکلهای اعوجاجی دیوار-مخزن بلند ۱۰۱
- شکل (۴۴-۴)- تغییر شکل انتهای پایین دیوار مخزن در حالت حذف تغییر شکلهای اعوجاجی دیوار-مخزن بلند ۱۰۱
- شکل (۴۵-۴)- تغییر شکل انتهای پایین دیوار مخزن در حالت حذف تغییر شکلهای اعوجاجی دیوار-مخزن عریض ۱۰۲
- شکل (۴۶-۴)- تغییر شکل ناشی از بلند شدگی نا متقارن در مخزن بلند ۱۰۲
- شکل (۴۷-۴)- لنگر واژگونی در برابر دوران و طول بلند شدگی-بار گذاری رفت و بر گشته ۱۰۳
- شکل (۴۸-۴)- نیروی قائم ایجاد شده در انتهای تیرهای مختلف ۱۰۴
- شکل (۴۹-۴)- لنگر خمشی و نیروی محوری ایجاد شده در تیرهای مختلف ۱۰۴
- 
- شکل (۱-۵)- مدل آزمایشگاهی مورد مطالعه ۱۰۷
- شکل (۲-۵)- نقشه ساخت مخزن عریض ۱۰۹
- شکل (۳-۵)- مدل تحلیلی تکیه گاه مخزن ۱۱۰
- شکل (۴-۵)- تکیه گاه مخزن مورد آزمایش ۱۱۱
- شکل (۵-۵)- محل تعییه تغییر مکان سنجها در آزمایشگاه استاتیکی ۱۱۳
- شکل (۶-۵)- محل تعییه تغییر مکان سنجها در آزمایشگاه دینامیکی ۱۱۴
- شکل (۷-۵(الف))- بلندشدنگی آزمایشی و تحلیلی در حالت حداکثر شیب تکیه‌گاه برابر  $20^{\circ}$  درجه- تغییر مکان سنج  $\theta = 0^{\circ}$  ۱۱۶
- شکل (۷-۵(ب))- بلندشدنگی آزمایشی و تحلیلی در حالت حداکثر شیب تکیه‌گاه برابر  $20^{\circ}$  درجه- تغییر مکان سنج  $\theta = 45^{\circ}$  ۱۱۷
- شکل (۷-۵(ج))- بلندشدنگی آزمایشی و تحلیلی در حالت حداکثر شیب تکیه‌گاه برابر  $20^{\circ}$  درجه- تغییر مکان سنج  $\theta = 90^{\circ}$  ۱۱۷
- شکل (۸-۵(الف))- بلندشدنگی آزمایشی و تحلیلی در حالت حداکثر شیب تکیه‌گاه برابر  $25^{\circ}$  درجه- تغییر مکان سنج  $\theta = 0^{\circ}$  ۱۱۸
- شکل (۸-۵(ب))- بلندشدنگی آزمایشی و تحلیلی در حالت حداکثر شیب تکیه‌گاه برابر  $25^{\circ}$  درجه- تغییر مکان سنج  $\theta = 45^{\circ}$  ۱۱۸

شکل (۵-۸ج)- بلندشدنگی آزمایشی و تحلیلی در حالت حداکثر شیب تکیه‌گاه برابر ۲۵ درجه- تغییر مکان سنج در  $\theta = 90^\circ$  ۱۱۹

شکل (۵-۹الف)- بلندشدنگی آزمایشی و تحلیلی در حالت حداکثر شیب تکیه‌گاه برابر ۲۵ درجه- تغییر مکان سنج در  $\theta = 0^\circ$  با حذف حلقه داخلی در بالای مخزن ۱۱۹

شکل (۵-۹ب)- بلندشدنگی آزمایشی و تحلیلی در حالت حداکثر شیب تکیه‌گاه برابر ۲۵ درجه- تغییر مکان سنج در  $\theta = 45^\circ$ - با حذف حلقه داخلی در بالای مخزن ۱۲۰

شکل (۵-۹ج)- بلندشدنگی آزمایشی و تحلیلی در حالت حداکثر شیب تکیه‌گاه برابر ۲۵ درجه- تغییر مکان سنج در  $\theta = 90^\circ$  با حذف حلقه داخلی در بالای مخزن ۱۲۰

شکل (۱۰-۵)- پاسخ تغییر مکان بلند شدنگی نقاط  $\theta = 0^\circ$  و  $\theta = 180^\circ$ - آزمایش شماره ۳ ۱۲۲

شکل (۱۱-۵)- پاسخ تغییر مکان بلند شدنگی نقاط  $\theta = 90^\circ$  و  $\theta = -90^\circ$ - آزمایش شماره ۳ ۱۲۲

شکل (۱۲-۵)- پاسخ تغییر مکان بلند شدنگی نقاط  $\theta = 0^\circ$  و  $\theta = 180^\circ$ - آزمایش شماره ۴ ۱۲۳

شکل (۱۳-۵)- پاسخ تغییر مکان بلند شدنگی نقاط  $\theta = 90^\circ$  و  $\theta = -90^\circ$ - آزمایش شماره ۴ ۱۲۳

شکل (۱۴-۵)- پاسخ تغییر مکان بلند شدنگی نقاط  $\theta = 0^\circ$  و  $\theta = 180^\circ$ - آزمایش شماره ۵ ۱۲۴

شکل (۱۵-۵)- پاسخ تغییر مکان بلند شدنگی نقاط  $\theta = 90^\circ$  و  $\theta = -90^\circ$ - آزمایش شماره ۵ ۱۲۴

شکل (۶-۱)- نحوه انتخاب زلزله‌های مورد استفاده در تحلیل‌های تاریخچه زمانی ۱۲۸

شکل (۶-۲الف)- طیف شتاب زلزله‌های ۵۰ درصد احتمال برای ضریب میرایی ۵ درصد (شتاب نگاشتها طوری همپایه شده‌اند که شتاب طیفی در دوره تنابوب  $0.09 \text{ Sec}$  برابر  $0.3g$  می‌باشد) ۱۲۸

شکل (۶-۲ب)- طیف شتاب زلزله‌های ۸۴ درصد احتمال برای ضریب میرایی ۵ درصد (شتاب نگاشتها طوری همپایه شده‌اند که شتاب طیفی در دوره تنابوب  $0.09 \text{ Sec}$  برابر  $0.3g$  می‌باشد) ۱۲۹

شکل (۶-۲ج)- طیف شتاب زلزله‌های ۱۶ درصد احتمال برای ضریب میرایی ۵ درصد (شتاب نگاشتها طوری همپایه شده‌اند که شتاب طیفی در دوره تنابوب  $0.09 \text{ Sec}$  برابر  $0.3g$  می‌باشد) ۱۲۹

شکل (۶-۳)- تاثیر طول گام زمانی در پاسخ برش پایه مخزن بلند مهار شده ۱۳۱

شکل (۶-۴)- مقایسه برش پایه حاصل از روش‌های هاوسنر، ولتسوز و اجزاء محدود در مخزن مهار شده بلند ۱۳۲

شکل (۶-۵)- مقایسه برش پایه حاصل از روش‌های ملهوترا، API650 و اجزاء محدود در مخزن مهار شده بلند ۱۳۲

شکل (۶-۶)- مقایسه برش پایه حاصل از روش‌های هارون و هاوسنر و اجزاء محدود در مخزن بلند مهار شده ۱۳۳

شکل (۶-۷)- مقایسه برش پایه حاصل از روش‌های هارون و هاوسنر و اجزاء محدود در مخزن عریض مهار شده ۱۳۳

- شکل (۱-۷)- وضعیت تغییر شکل یافته مخزن مهار نشده ۱۳۷
- شکل (۲-۷)- جرمی از مایع که دارای حرکت گهواره‌ای است (پلان و مقطع) ۱۳۷
- شکل (۳-۷)- بلند شدگی مخزن مهار نشده تحت اثر مولفه‌های افقی و قائم زلزله ۱۴۰
- شکل (۴-۷)- بررسی پایداری پاسخ حاصل از روش نیومارک-مخزن بلند مهار نشده ۱۴۱
- شکل (۵-۷)- تاثیر گامهای زمانی برابر با ۸ و ۱۶ عدد بر پاسخ مخزن بلند (روش رانگ-کوتا مرتبه ۴) ۱۴۲
- شکل (۵-۷ب)- تاثیر گامهای زمانی برابر با ۱۶ و ۳۲ عدد بر پاسخ مخزن بلند (روش رانگ-کوتا مرتبه ۴) ۱۴۲
- شکل (۵-۷ج)- تاثیر گامهای زمانی برابر با ۳۲ و ۶۴ عدد بر پاسخ مخزن بلند (روش رانگ-کوتا مرتبه ۴) ۱۴۳
- شکل (۶-۷)- مقایسه نتایج بلندشدگی حاصل از روش تحلیلی و اجزاء محدود-مخزن بلند ۱۴۴
- شکل (۷-۷)- مقایسه نتایج بلندشدگی حاصل از روش تحلیلی و اجزاء محدود-مخزن عریض ۱۴۴
- شکل (۷-۸الف)- تاثیر میزان ضربی بازگشت بر پاسخ بلند شدگی-مخزن بلند ۱۴۵
- شکل (۷-۸ب)- تاثیر میزان ضربی بازگشت بر پاسخ بلند شدگی-مخزن بلند ۱۴۵
- شکل (۹-۷الف)- تغییرات دوره تناوب مودهای ضربه‌ای و موج تحت اثر زلزله FOR090 ۱۴۷
- شکل (۹-۷ب)- تغییرات دوره تناوب مودهای ضربه‌ای و موج تحت اثر زلزله E-1062 ۱۴۷
- شکل (۱۰-۷الف)- تغییرات دوره تناوب مود گهواره‌ای نوسانات مخزن-مایع تحت اثر زلزله FOR090 ۱۴۸
- شکل (۱۰-۷ب)- تغییرات دوره تناوب مود گهواره‌ای نوسانات مخزن-مایع تحت اثر زلزله E-1062 ۱۴۸
- شکل (۱۱-۷)- تاثیر مود موج بر پاسخ بلند شدگی مخزن بلند ۱۵۰
- شکل (۱۲-۷)- تاثیر مود موج بر پاسخ بلند شدگی مخزن عریض ۱۵۰
- شکل (۱۳-۷)- مدل جرم-فرنگیر مخزن قرار گرفته بر روی شالوده صلب قرار گرفته بر روی خاک ۱۵۳
- شکل (۱۴-۷)- بلند شدگی مخزن تحت شتابنگاشت FOR090 ۱۵۵
- شکل (۱۵-۷)- بلند شدگی مخزن عریض قرار گرفته بر روی خاکهای مختلف تحت شتابنگاشت FOR090 ۱۵۶
- شکل (۱۶-۷)- بلند شدگی مخزن تحت قرار گرفته بر روی خاکهای مختلف تحت شتابنگاشت E-1062 ۱۵۶
- شکل (۱۷-۷)- تاثیر وزن شالوده بر روی پاسخ بلند شدگی مخزن بلند قرار گرفته بر روی خاک ۱۵۷

شکل (۱۸-۷)- تغییرات شتاینگاشت	157	موره دوره تناوب مایع در مخزن بلند تحت اثر <i>FOR090</i>
شکل (۱۹-۷)- تغییرات شتاینگاشت	158	موره دوره تناوب مایع در مخزن بلند تحت اثر <i>FOR090</i>
شکل (۲۰-۷)- تغییرات دوره تناوب مود گهواره‌ای مخزن بلند تحت اثر شتاینگاشت	158	<i>FOR090</i>
شکل (۲۱-۷)- تغییرات دوره تناوب مود مایع در مخزن عریض تحت اثر شتاینگاشت	159	<i>FOR090</i>
شکل (۲۲-۷)- تغییرات دوره تناوب مود گهواره‌ای مایع در مخزن عریض تحت اثر شتاینگاشت	159	<i>FOR090</i>
شکل (۲۳-۷)- تغییرات دوره تناوب مود گهواره‌ای مخزن عریض تحت اثر شتاینگاشت	160	<i>FOR090</i>
شکل (ب-۱)- المان مایع مورد استفاده در تحلیل اجزاء محدود(ANSYS user manual)	169	
شکل (ب-۲)- المان مورد استفاده در دیوار و کف مخزن(ANSYS user manual)	169	
شکل (ب-۳)- مقایسه کرنش مهندسی و کرنش لگاریتمی با یکدیگر	171	
شکل (ب-۴)- تغییرات حداکثر کرنش الاستیک، حداکثر کرنش پلاستیک و مجموعشان نسبت به میزان بلندشدنی در ورق کف مخزن بلند	172	
شکل (د-۱)- شتاینگاشت CPM000	175	
شکل (د-۲)- شتاینگاشت G01090	175	
شکل (د-۳)- شتاینگاشت 1062 - E	176	
شکل (د-۴)- شتاینگاشت CAP000	176	
شکل (د-۵)- شتاینگاشت CLS090	177	
شکل (د-۶)- شتاینگاشت FOR090	177	

## فهرست جداول

۳۳	جدول (۱-۳)- ضرایب کامش نیرو در پیوست E آین نامه API650
۳۶	جدول (۲-۳)- گروه بندی مخازن در توصیه‌های طراحی نیوزلند
۵۶	جدول (۱-۴)- روند تحلیل بلند شدگی تیر
۷۱	جدول (۲-۴)- مشخصات هندسی مخازن مورد مطالعه
۷۴	جدول (۳-۴)- یک گام از تحلیل برای یک طول بلندشده خاص
۸۶	جدول (۴-۴)- نسبت نیروی قائم حاصل از روش تقریبی به نیروی حاصل از روش دقیق در مخزن بلند
۸۶	جدول (۴-۵)- نسبت نیروی قائم حاصل از روش تقریبی به نیروی حاصل از روش دقیق در مخزن عریض
۹۸	جدول (۴-۶)- برش و لنگر واژگونی پایه، ناشی از الگوهای مختلف بارگذاری
۱۰۸	جدول (۱-۵)- مشخصات هندسی مخزن مورد آزمایش
۱۲۱	جدول (۲-۵)- نسبت بلند شدگی آزمایش به بلند شدگی تحلیلی در آزمایش ((۴.۲(۶))
۱۲۱	جدول (۳-۵)- نسبت بلند شدگی آزمایش به بلند شدگی تحلیلی در آزمایش ((۴.۲(۸))
۱۳۱	جدول (۱-۶)- ارتباط فاصله زمانی هر گام و تعداد گامهای مورد استفاده در تحلیل برای شتابنگاشتهای مختلف
۱۳۰	جدول (۲-۶)- مشخصات دینامیکی مخزن بلند مهار شده
۱۳۰	جدول (۳-۶)- مشخصات دینامیکی مخزن عریض مهار شده
۱۴۶	جدول (۱-۷)- تاثیر میزان ضریب بازگشت بر حداکثر پاسخ بلند شدگی مخزن بلند
۱۴۶	جدول (۲-۷)- تاثیر میزان ضریب بازگشت بر حداکثر پاسخ بلند شدگی مخزن عریض
۱۴۹	جدول (۳-۷)- حداکثر مقادیر پاسخ مخزن بلند تحت اثر زلزله‌های مختلف
۱۵۱	جدول (۴-۷)- تاثیر مود مواج در مخزن بلند
۱۵۱	جدول (۵-۷)- تاثیر مود مواج در مخزن عریض
۱۵۲	جدول (۶-۷)- تاثیر مولفه قائم زلزله بر حداکثر پاسخ بلند شدگی مخزن بلند

- جدول (۷-۷)- تاثیر مولفه قائم زلزله بر حداکثر پاسخ بلند شدگی مخزن عریض ۱۵۲
- جدول (۸-۷)- مشخصات فنر و میراگر معادل خاک-مخزن لاغر ۱۵۴
- جدول (۹-۷)- مشخصات فنر و میراگر معادل خاک-مخزن عریض ۱۵۴

## فهرست علائم

$A$ : مساحت سطح مقطع تیر یکنواخت

$A_h(T)$ : مقدار طیف شتاب متناظر با دوره تناوب  $T$  که به  $PGA$  همپایه گردیده است

$A_R$ : مساحت سطح مقطع انتهای تیر مثلثی

$A_c$ ،  $A_v$  و  $A_i$ : شتاب طیفی مودهای ضربه‌ای، موج و شتاب قائم

$b$ : عرض تیر یکنواخت

$b_R$ : عرض مقطع انتهای تیر مثلثی

$c$ : سرعت صوت در سیال

$c_i$ : ضریب میرایی مود ضربه‌ای

$c_c$ : ضریب میرایی مود موج

$C$ : ضریب ثابت ارتباط دهنده ضخامت دیوار مخزن به دوره تناوب مود انعطاف پذیر ضربه‌ای مایع

$D$ : قطر مخزن

$D_s$ : پارامتر سختی دیوار مخزن

$\bar{d}$ : فاصله افقی نقطه ثقل فشار مایع بر روی ناحیه بلندنشده ورق کف تا مرکز ثقل مایع داخل مخزن

$d_i$ : کوتاهترین فاصله بین انتهای بلند شده تیر  $i$  و نقطه‌ای که بلندشدنگی حول آن انجام می‌شود

$d'_i$ : کوتاهترین فاصله بین نقطه آغاز بلندشدنگی تیر  $i$  و نقطه‌ای که بلندشدنگی حول آن انجام می‌شود

$d''_i$ : کوتاهترین فاصله بین مرکز ثقل فشار هیدرواستاتیکی وارد بر تیر  $i$  و نقطه‌ای که بلندشدنگی حول آن انجام می‌شود

$d_{\theta\theta}$  و  $d_{uu}$ : المانهای تشکیل دهنده معکوس ماتریس سختی قیود انتهای تیر